

青藏高原若尔盖沼泽潜在 CH_4 氧化与生成的分布特征

王智平^{1,2} 段毅² 杨居荣³ 陈全胜¹ 韩兴国¹

(1 中国科学院植物研究所植被数量生态学重点实验室, 北京 100093)

(2 中国科学院兰州地质研究所气体地球化学国家重点实验室, 兰州 730000)

(3 北京师范大学资源与环境学院, 北京 100875)

摘要 该实验采集若尔盖草本沼泽 3 种生境(洼地、草坪、微丘草地)中的 4 个层位(0~5、5~15、15~30、30~50 cm)的土壤样品, 在实验室培养条件下, 测定潜在 CH_4 氧化与生成, 分析其分布特征。草坪泥炭层与矿质层分明, 两层都表现出显著的 CH_4 氧化能力, 与高、低亲合力 CH_4 氧化菌跟随地下水位、 CH_4 源在两层之间的迁移变化有关。然而, 草坪 CH_4 生成不明显。洼地土壤剖面缺乏层次性, 但 CH_4 氧化呈现明显的梯度特征, 表层(0~5 cm)土壤 CH_4 生成率显著高于其它层位。洼地表层土壤是 CH_4 氧化菌与 CH_4 生成菌的共聚层位, 在它们各自适宜条件下贡献着 CH_4 氧化与生成。微丘草地的土壤也缺乏层次性, CH_4 生成不明显, CH_4 氧化弱。土壤理化因子、通气状况以及植被条件是影响若尔盖沼泽 CH_4 氧化与生成分布的重要因素。需在不同季节测定 CH_4 氧化与生成, 进一步评估高原沼泽土壤 CH_4 氧化与生成及对 CH_4 源汇的影响。

关键词 CH_4 氧化 CH_4 生成 生境 土壤层位 若尔盖沼泽

SPATIAL DISTRIBUTION OF POTENTIAL CH_4 OXIDATION AND PRODUCTION IN ZOIGÊ MARSH OF QINGHAI-TIBET PLATEAU

WANG Zhi-Ping^{1,2} DUAN Yi² YANG Ju-Rong³ CHEN Quan-Sheng¹ and HAN Xing-Guo¹

(1 Laboratory of Quantitative Vegetation Ecology, Institute of Botany, the Chinese Academy of Sciences, Beijing 100093, China)

(2 State Key Laboratory of Gas Geochemistry, Lanzhou Institute of Geology, the Chinese Academy of Sciences, Lanzhou 730000, China)

(3 College of Resource and Environment, Beijing Normal University, Beijing 100875, China)

Abstract In a temperate marsh in Qinghai-Tibet plateau, the potential CH_4 oxidation and production were investigated by field sampling and lab incubation experiments. The potential CH_4 oxidation and production rates were measured for four horizons (0~5, 5~15, 15~30, 30~50 cm) at three typical sites (hill-sod, drained, waterlogged). General soil factors usually showed a significant difference between the upper peat horizon (0~15 cm) and the underlying mineral horizon (15~50 cm) at the drained site and little distinct values for horizons at the hill-sod site and the waterlogged site. At the hill-sod site, CH_4 oxidation and production were weak. At the drained site, the subsurface peat showed much greater CH_4 oxidation rates than the other soil horizons, with a maximal rate of $20.9 \text{ ng CH}_4 \cdot \text{g}^{-1} \text{ DW} \cdot \text{h}^{-1}$ at initial $20 \text{ mL CH}_4 \cdot \text{L}^{-1}$. The underlying mineral also showed a very strong CH_4 oxidation capacity at an initially high CH_4 concentration. However, at the drained site, CH_4 production was weak. At the waterlogged site, the surface soil (0~5 cm) was a most active co-horizon with the maximal CH_4 oxidation and production rates in aerobic and anaerobic incubations, respectively; CH_4 production of $29 \text{ ng CH}_4 \cdot \text{g}^{-1} \text{ DW} \cdot \text{h}^{-1}$ was much greater than CH_4 oxidation of $7.8 \text{ ng CH}_4 \cdot \text{g}^{-1} \text{ DW} \cdot \text{h}^{-1}$, suggesting a net CH_4 efflux from this site. The spatial distribution of CH_4 oxidation and production was influenced by soil physico-chemical factors, soil air status, and vegetation in Zoigê marsh. The hill-sod site and the drained site were probably CH_4 sinks, but the waterlogged site was probably a CH_4 source. However, it is unclear whether or not the whole marsh is a CH_4 source or CH_4 sink. Further work is required to measure and evaluate CH_4 oxidation and production in the various seasons in this plateau marsh. It is anticipated that our preliminary investigation will increase interest in studies of C cycling in plateau wetland.

Key words Methane oxidation, Methane production, Soil, Horizon, Zoigê marsh

收稿日期: 2002-10-22 接受日期: 2003-03-24

基金项目: 气体地球化学国家重点实验室开放基金(SJJ-01-07)、国家自然科学基金(40072040)和国家重点基础研究发展计划项目(G2000018603)

感谢四川省若尔盖县林业局左林局长提供若尔盖沼泽的背景材料, 兰州大学测试分析中心薛敦渊老师提供气相色谱仪的使用。

E-mail: wangzp5@yahoo.com

甲烷(CH_4)是重要的温室气体,它的大气浓度正以约1%的年速度增加,在过去300年间从约0.8 $\mu\text{l}\cdot\text{L}^{-1}$ 增至约1.7 $\mu\text{l}\cdot\text{L}^{-1}$ (Crutzen, 1991)。大气 CH_4 表现出温室效应和大气化学作用,对流层的光化学反应和土壤细菌的 CH_4 氧化是消耗大气 CH_4 的重要途径。虽然全球陆地土壤 CH_4 年汇约占大气库中 CH_4 消耗的3%~9%,但近似于估算的大气库中 CH_4 的年增加,使得土壤细菌的 CH_4 氧化成为大气 CH_4 浓度变化的关键性决定因子(Prather *et al.*, 1995)。

沼泽是重要的陆地生态系统类型,在植被、水文和土壤等方面具有显著的特征,常生长着水生植物,土壤为水成土,在某些季节被水所饱和或被浅水所覆盖。沼泽在维持全球生物多样性和C平衡方面尤为重要,长期的低有机质分解是沼泽C积累的关键因素。自然湿地是大气 CH_4 的重要排放源,约贡献着全球 CH_4 排放量的20%份额,因而自然湿地C循环的变化对全球气候变化具有重要的影响(Saarnio *et al.*, 2000)。沼泽土壤 CH_4 氧化是调节“地-气”间 CH_4 排放通量的关键因素。例如,Lidstrom和Somers(1984)、Yavitt等(1988)报道,泥炭生成的 CH_4 在排放到大气之前,有相当部分的 CH_4 被氧化。沼泽“地-气”间 CH_4 排放取决于 CH_4 生成与 CH_4 氧化等活动的相对程度,然而对这些活动及其微生物作用知之甚少。

我国在 CH_4 的研究方面,大量的工作投入到“地-气”间排放通量的测定上,尤其是对水稻田 CH_4 排放通量的测定(王明星,2001),以便于估算中国地区 CH_4 排放总量。我国在人工湿地(稻田)进行过 CH_4 氧化的大量研究(Cai & Yan, 1999; Cai & Mosier, 2000);Jin等(1999)曾评估青藏高原湿地 CH_4 排放,并认为若尔盖沼泽是青藏高原湿地 CH_4 排放的中心区之一。然而,鲜见在我国自然湿地进行过 CH_4 氧化与生成的调查。本文野外采集青藏高原若尔盖沼泽的土壤样品,在实验室培养条件下,测定潜在 CH_4 氧化与生成,分析其分布特征。期望我们的初步调查将引起学术界对高原湿地C循环研究的关注。

1 材料和方法

1.1 若尔盖沼泽概况

土壤样品采自青藏高原东北隅的若尔盖沼泽。若尔盖沼泽是第四纪喜马拉雅造山运动以来处于低

位发育的草本沼泽,面积约4 000 km^2 ,在沼泽发育过程、元素生物地球化学特征等方面与低纬度热带沼泽和高纬度北方沼泽有着显著差异。若尔盖沼泽位于四川省阿坝藏族羌族自治州若尔盖县境内,沼泽的核心部分现已开辟为国家级自然保护区。若尔盖沼泽植被繁茂,覆盖度达80%以上。洼地生长的优势植物为西藏嵩草(*Kobresia tibetica*),草坪为线性嵩草(*K. capillifolia*)、木里苔草(*Carex muliensis*),微丘草地为羊茅(*Festuca ovina*)等。保护区为高原浅丘沼泽地貌,介于102°29'~102°59' E, 33°25'~34°00' N,海拔高度约3 400~3 600 m,相对海拔高度一般小于100 m。若尔盖沼泽属寒温带湿润气候,11月至次年4月受西伯利亚和蒙古冷空气控制,5月至10月受西南季风控制,年均气温0.7 °C;年均降水650 mm,集中在6~9月份,相对湿度78%。土壤属非地带性土壤。

1.2 取样方法

土壤0~50 cm剖面通常是 CH_4 氧化与生成的活跃层位。本实验根据微地貌、土壤水分、植被状况等,在保护区花湖岸边到热尔坝保护站的微缓坡地段(约位于102°53' E, 33°55' N, 海拔高度约3 450 m)中确定3种采样生境:洼地、草坪以及微丘草地。1)花湖岸边的洼地,周年被水覆盖;2)向上约3~4 km处的草坪,为季节性沼泽,雨季常有浅层积水;3)再向上约2 km处的微丘草地,土壤干爽。相对海拔高度表现为微丘草地高于草坪约3~5 m,草坪高于洼地约1~2 m。综合各生境的土壤剖面特征,分4个层位(0~5、5~15、15~30、30~50 cm)采样。于2001年10月12~13日野外采样,采样时的气温12~15 °C、水温6~8 °C、土温18~22 °C;采样时洼地被3~5 cm深的浅水覆盖、草坪和微丘草地的地下水位在50 cm以下。在每种生境直径约50 m的面积范围内,随机在3个0~50 cm的采样点采样,剔除可见的草根和砂石,分层混合均匀,装入广口瓶中带回实验室贮存在4 °C的冰箱中,在装瓶过程中防止压实。在一个月内完成潜在 CH_4 氧化与生成的测定。

1.3 实验室培养测定

1.3.1 CH_4 氧化测定

称取6 g湿土装入120 ml培养玻璃瓶中,用直径20 mm的丁基橡胶垫塞住瓶口,铝质薄盖封口,通过“进-出”针管,用钢瓶中的空气冲洗培养瓶内空间约2 min(200 $\text{ml}\cdot\text{min}^{-1}$),培养在室温18~19 °C的黑暗条件下。用针管从玻璃瓶中抽取1 ml气样(为平衡瓶内气压,先注入1 ml空气),注入到气相色谱

仪中。气相色谱仪是岛津(Shimadzu)GC-9A, 匹配FID和2 m长的Porapak Q柱子。柱温40 °C, 进样口和检测器温度皆150 °C。N₂作载气, 流速40 ml·min⁻¹。空气和H₂的流速分别为450、60 ml·min⁻¹。岛津积分仪(Shimadzu C-R2A)计算峰面积, 用标样定量CH₄浓度。玻璃瓶中起始CH₄浓度通过注入用空气稀释的CH₄来获得, 设定低(约20 μL·L⁻¹)、高(约2 000 μL·L⁻¹)CH₄浓度, 检验高、低亲合力CH₄氧化菌的反应。另外, 还设计了加20 ml去离子水, 检测在振荡(243 rpm)培养条件下的洼地土壤CH₄氧化。在CH₄浓度开始下降的线性时段计算CH₄氧化率。每处理3次重复。

1.3.2 CH₄生成测定

测定CH₄生成与测定CH₄氧化具有类似的研究程序和培养条件, 不同之处在于: 1) 通过“进-出”针管, 用纯N₂冲洗培养瓶内空间约4 min(200 ml·min⁻¹), 获得厌氧条件(经检测土壤样品处于厌氧培养条件); 2) 不添加起始CH₄。分别在开始的自然生长期和随后的诱导线性期, 计算CH₄生成率。

1.3.3 土壤理化因子测定

在15 ml去离子水与15 g湿土混合的土壤水溶液中, 用玻璃电极法(PHS-25型酸度计、上海雷磁厂)测定土壤pH。称取10 g湿土, 加50 ml 2 mol·L⁻¹KCl溶液, 振荡(243 rpm)1 h, 过滤出浸提液, 应用蒸馏法的凯氏定N仪(Kjeltec System 1028 Distilling Unit)测定NH₄⁺-N、锌还原的紫外分光光度法(Shimadzu Spectrophotometer UV-120-02)测定NO₃⁻-N。应用烘重法、丘林法、碱解扩散法以及EDTA(乙

二胺四乙酸)间接滴定法分别测定土壤水分、有机质、碱解N和SO₄²⁻含量。参考农化分析(鲍士旦, 2000)的常规方法测定这些土壤理化因子。

1.4 统计分析

应用SAS(Version 8.2)软件ANOVA程序进行多重比较(Duncan's Multiple-Range Test)(高惠璇, 2001), 分析处理间的差异显著性。

2 结果与讨论

2.1 土壤CH₄氧化的分布

表1列出若尔盖沼泽3种典型生境的土壤理化特征。在若尔盖沼泽中, 草坪0~15 cm为黑色有机泥炭层, 15~50 cm为浅灰色矿质层, 泥炭层的有机质、碱解N、NH₄⁺、NO₃⁻以及SO₄²⁻含量显著高于矿质层。微丘草地和洼地的各层间理化因子的差异没有草坪显著。

微丘草地的土壤水分含量低, 相应的CH₄氧化率也低; 草坪的泥炭层持水量大, 表现出较强的CH₄氧化能力(图1, A、B、C)。“通气-厌气”界面通常是微生物群落的活跃区域, 易发生微量气体的代谢活动(Brune *et al.*, 2000)。例如, CH₄氧化菌通常聚集在湿泥炭地的“通气-厌气”界面(Sundh *et al.*, 1994)。水位常被认为是“通气-厌气”界面。在草坪和微丘草地的0~50 cm剖面未发现水位, 是由于采样日期在10月中旬, 水位下降到50 cm以下, 因而未能从水位界面处发现并解释CH₄氧化峰值。但CH₄氧化峰值发生在亚土层(图1, B), 与Krumholz等(1995)在泥炭地、Priemé和Christensen(1997)和Saari等(1997)在森林土壤中的观测结果相一致, 即

表1 若尔盖沼泽土壤理化特征
Table 1 Soil physico-chemical characteristics in Zoigē marsh

深度 Depth (cm)	pH	水分 Water content (w/w, %)	有机质 Organic matter (w/w, %)	NH ₄ ⁺ -N (μg·g ⁻¹ DW)	NO ₃ ⁻ -N (μg·g ⁻¹ DW)	碱解 N hydrolyzable N (μg·g ⁻¹ DW)	SO ₄ ²⁻ (μg·g ⁻¹ DW)
微丘草地 The hill-sod site	0~5	7.9 ^{b-e}	25.4 ^h	8.5±0.1 ^f	7.9±0.8 ^f	421±8.2 ^{b-g}	60.3±3.9 ^{d-e}
	5~15	7.9 ^d	25.1 ⁱ	8.0±0.1 ^f	9.2±1.2 ^f	444±4.6 ^f	65.0±1.3 ^d
	15~30	8.1 ^c	24.1 ^j	6.4±0.2 ^{f,g}	7.8±2.9 ^f	336±4.9 ^{g-h}	48.3±5.5 ^{e-f}
	30~50	8.1 ^{b-c}	22.1 ^k	4.6±0.1 ^g	8.6±0.8 ^f	190±1.6 ⁱ	45.4±1.2 ^f
草坪 The drained site	0~5	7.2 ^g	67.8 ^a	60.6±3.6 ^a	29.9±2.5 ^a	14.4±0.4 ^b	3445±67.2 ^a
	5~15	7.8 ^{e-f}	60.9 ^b	29.2±0.5 ^b	18.9±3.1 ^c	17.2±1.7 ^a	1984±13.1 ^b
洼地 The waterlogged site	15~30	8.3 ^a	31.1 ^g	4.7±0.2 ^g	7.9±0.5 ^f	1.5±0.5 ^{d,e,f}	237±4.5 ^{b-i}
	30~50	8.2 ^{a-b}	30.9 ^g	4.4±0 ^g	8.6±0.1 ^f	0.6±0.2 ^f	202±2.9 ⁱ
洼地 The waterlogged site	0~5	7.8 ^{e-f}	51.1 ^c	15.1±0.6 ^c	12.6±1.9 ^{d,e}	0.9±0.3 ^{e,f}	827±8.7 ^c
	5~15	7.8 ^f	49 ^d	14.3±0.3 ^{c,d}	14.6±1.1 ^d	1.1±0.1 ^{e,f}	756±60.8 ^d
	15~30	8 ^d	47.6 ^e	12.5±0.5 ^{d,e}	21.4±2.0 ^{b,c}	1.0±0.1 ^{e,f}	648±99.1 ^e
	30~50	7.9 ^{c-d,f}	46.4 ^f	11.3±0.4 ^e	24.4±0.7 ^b	1.1±0.3 ^{e,f}	662±98.2 ^{d,e}

表1中数值为3次重复的平均值±标准差, pH值和水分的标准差很小, 仅给出平均值。对不同生境同一指标进行Duncan多重比较, 表中不同字母间代表显著性差异($p < 0.05$)。Data are mean ± SE ($n = 3$) (standard error, $n = 3$) with the exceptions of pH and water content where the SE were always too small to be listed. Means with different letters identify significant differences ($p < 0.05$) between horizons.

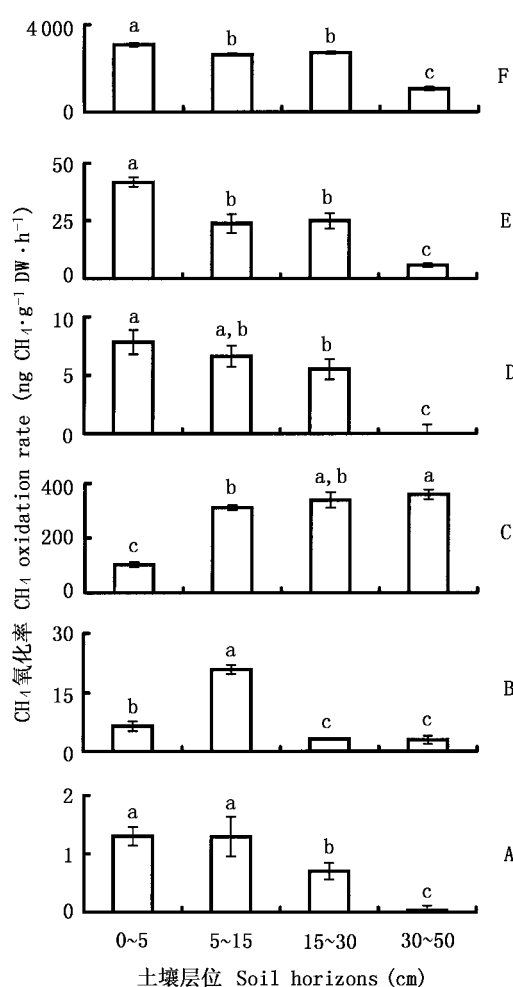
图1 若尔盖沼泽潜在 CH_4 氧化率的分布

Fig.1 Vertical profiles of potential CH_4 oxidation rates by soils from the Zoisgā marsh

A: 微丘草地 B、C: 草坪 D、E、F: 洼地, 其中 E、F 培养在振荡条件下。A、B、C、D、E、F 的起始 CH_4 浓度分别约为 $(20 \pm 0.5) \mu\text{L} \cdot \text{L}^{-1}$ 、 $(20 \pm 0.7) \mu\text{L} \cdot \text{L}^{-1}$ 、 $(2043 \pm 63) \mu\text{L} \cdot \text{L}^{-1}$ 、 $(22 \pm 1.6) \mu\text{L} \cdot \text{L}^{-1}$ 、 $(20 \pm 0.4) \mu\text{L} \cdot \text{L}^{-1}$ 、 $(2152 \pm 57) \mu\text{L} \cdot \text{L}^{-1}$; CH_4 氧化率时间间隔分别为 $0 \sim 26.8$ 、 $0 \sim 26.8$ 、 $0 \sim 42.6$ 、 $0 \sim 26.8$ 、 $0 \sim 2.5$ 、 $0 \sim 15$ h。所称土壤的实际水分含量相应地比表 1 中各层水分含量低 2% (微丘草地)、1% (草坪)、3%~5% (洼地)。图中值为 3 次重复的平均值 \pm 标准误差 (SE), 有的标准误差太小, 隐藏在图中。以每个土壤剖面为统计分析单位, 进行 Duncan 多重比较, 图中不同字母间代表显著性差异 ($p < 0.05$)。A: The hill-sod site B, C: The drained site D, E, F: The waterlogged site, in which E, F was incubated in rotation A, B, C, D, E, F: CH_4 oxidation rates were calculated during the first $0 \sim 26.8$, $0 \sim 26.8$, $0 \sim 42.6$, $0 \sim 26.8$, $0 \sim 2.5$, $0 \sim 15$ h at the initial (20 ± 0.5) , (20 ± 0.7) , (2043 ± 63) , (22 ± 1.6) , (20 ± 0.4) , $(2152 \pm 57) \mu\text{L} \cdot \text{L}^{-1}$, respectively. The rates are means \pm SE ($n = 3$)。Means with different letters identify significant differences ($p < 0.05$) between horizons

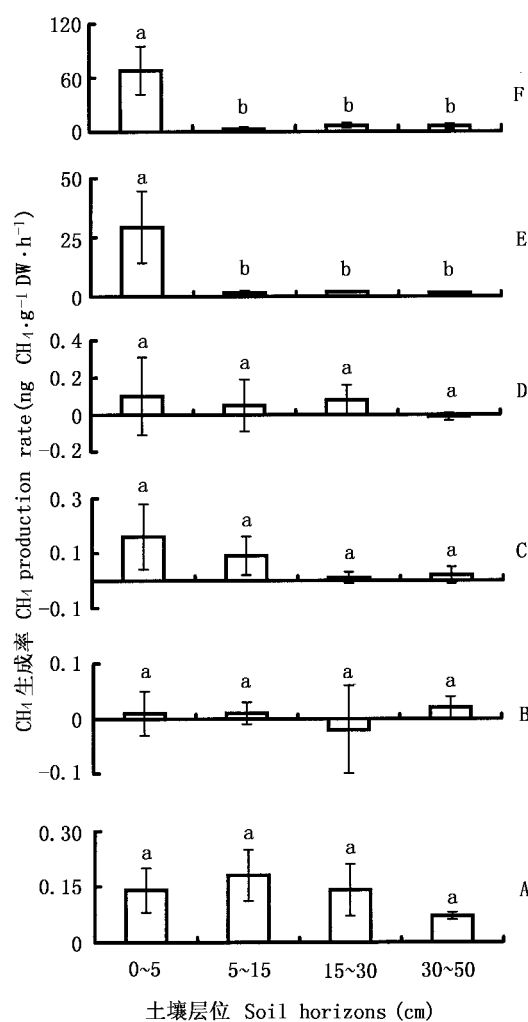
亚土层 (约 5~15 cm) 具有最大的 CH_4 氧化能力, 此层 (有机-无机过渡层) 通常是富含矿质颗粒的腐殖层或富含腐殖质的矿质层。因大气 O_2 通过浅层水的渗透, 洼地的“通气-厌气”界面在土壤表层 (0~5 cm), 此层常是好氧微生物的活跃区, 显著地贡献 CH_4 氧化 (图 1, D、E、F)。大气 O_2 也能通过水生植物

的根系渗透到深层土壤 (5~30 cm), CH_4 氧化菌活动在水生植被的根际区, 使洼地深层土壤也表现出较高的 CH_4 氧化能力。

土壤 CH_4 氧化的适宜 pH 值在酸沼中为 6.0~7.0 (Dunfield *et al.*, 1993), 泥炭藓沼中为 4.5~5.5 (Dedysh & Panikov, 1997)。若尔盖沼泽土壤 pH 值却高达 7.9 ± 0.3 (表 1), 仍表现出显著的 CH_4 氧化能力。Borne 等 (1990) 认为 CH_4 氧化菌在通气土壤中适于 pH 值 3.5~8.0 环境。甚至, Dörr 等 (1993) 认为 pH 值与 CH_4 吸收 (氧化) 量不具相关性。这些调查表明, CH_4 氧化菌适于各类生境土壤广幅的 pH 值环境, 或在具体地点 CH_4 氧化菌只适于较窄的 pH 值环境。 CH_4 氧化菌对 pH 值的适应可能是在具体生境中经长期演化而形成的。

在低、高起始 CH_4 浓度下, CH_4 氧化可相应反映出高、低亲合力 CH_4 氧化菌活动 (Bender & Conrad, 1992)。在起始约 $20,200 \mu\text{L} \cdot \text{L}^{-1}$ CH_4 浓度下, 草坪和洼地的土壤表现出显著的 CH_4 氧化能力 (图 1, B、C、D、E、F), 表明土壤中高、低亲合力 CH_4 氧化菌共存。在起始 $(20 \pm 0.5) \mu\text{L} \cdot \text{L}^{-1}$ CH_4 浓度下, 微丘草地的 CH_4 氧化活动弱, $0 \sim 15$ cm 层位 CH_4 氧化率显著高于 $15 \sim 50$ cm 层位 (图 1, A), 与表层易获得 CH_4 、 O_2 供应有关。在起始 $(20 \pm 0.7) \mu\text{L} \cdot \text{L}^{-1}$ CH_4 浓度下, 草坪 CH_4 氧化活跃, $5 \sim 15$ cm 层位 CH_4 氧化率最高, 达 $20.9 \text{ ng CH}_4 \cdot \text{g}^{-1} \text{ DW} \cdot \text{h}^{-1}$, 其它层位 CH_4 氧化活动显著减弱 (图 1, B)。草坪 $0 \sim 5$ cm 泥炭层位 $\text{NH}_4^+ \text{-N}, \text{NO}_3^- \text{-N}$ 和碱解 N 含量通常显著高于其它层位, 与此层高有机质含量有关 (表 1), 对 CH_4 氧化可能存在一定程度的抑制作用; 表层不稳定的温度和水分变化也不利于 CH_4 氧化菌集聚, 致使 $0 \sim 5$ cm 泥炭土表现出相对较低的 CH_4 氧化。在起始 $(2043 \pm 63) \mu\text{L} \cdot \text{L}^{-1}$ CH_4 浓度下, 草坪矿质土 ($15 \sim 50$ cm) 也表现出很强的 CH_4 氧化能力 (图 1, C), 可能与矿质土中起支配地位的 CH_4 氧化菌种群有关, 即矿质土层以聚居低亲合力的 CH_4 氧化菌为主。洼地 CH_4 氧化活动随土壤深度增加而减弱, 其中 $0 \sim 5$ cm 表层土壤表现出最强的 CH_4 氧化活动 (图 1, D)。洼地各层位的 CH_4 氧化率显著高于具有通气条件下的微丘草地 (图 1, A、D), 这与洼地的水生植被和内生 CH_4 供应有关。

土壤气体扩散涉及到物理动力学过程和相关的 CH_4 浓度分布和气体传输, 进而影响 CH_4 氧化。例如, 过筛能够提高大部分土壤样品的 CH_4 氧化率, 表

图2 若尔盖沼泽潜在 CH_4 生成率的分布Fig.2 Vertical profiles of potential CH_4 production rates

by soils from the Zöigé marsh

A、B: 微丘草地 C、D: 草坪 E、F: 洼地 计算 CH_4 生成率时, A、C、E 的时间间距为 0~42 h, 代表 CH_4 自然生成期; B、D、F 的时间间距为 42~109 h, 代表 CH_4 诱导生成期。所称土壤的实际水分含量相应地比表 1 中各层水分含量低 2% (微丘草地)、1% (草坪)、3~5% (洼地)。图中值为 3 次重复的平均值 \pm 标准误差 (SE), 有的标准误差太小, 隐藏在图中。以每个土壤剖面为统计分析单位, 进行 Duncan 多重比较, 图中不同字母间代表显著性差异 ($p < 0.05$)。A, B: The hill-sod site C, D: The drained site E, F: The waterlogged site. Methane production rates were calculated for treatments: A, C, E during the first 0~42 h and B, D, F during the 42~109 h, respectively. The rates are means \pm SE ($n = 3$). Means with different letters identify significant differences ($p < 0.05$) between horizons

明气体扩散是土壤 CH_4 氧化的重要影响因子 (Brumme & Borken, 1999)。振荡能加速土壤气体扩散, 即加速 O_2 、 CH_4 与 CH_4 氧化菌的充分接触, 极大地促进了洼地土壤的 CH_4 氧化, 但 CH_4 氧化的垂直分布模式未变(图 1, D、E、F)。

2.2 土壤 CH_4 生成的分布

土壤 CH_4 生成需厌氧条件。微丘草地和草坪的地下水位低于 50 cm, 0~50 cm 层位缺乏充足的

厌氧条件, 土壤缺乏 CH_4 生成或表现出很微弱的 CH_4 生成, 各层位 CH_4 生成缺乏显著性差异(图 2, A、B、C、D)。微丘草地和草坪土壤缺乏 CH_4 生成, CH_4 氧化可能是 CH_4 循环的主要机理过程。洼地 0~5 cm 表层土壤 CH_4 生成率在自然生长期(0~42 h)和诱导线性期(42~109 h)分别高达 $29.68 \text{ ng} \cdot \text{CH}_4 \cdot \text{g}^{-1} \text{ DW} \cdot \text{h}^{-1}$, 显著高于其它层位 CH_4 生成率(图 2, E、F)。Williams 和 Crawford (1984)、黄国宏等(2001)也发现, 表层土壤具有显著的 CH_4 生成能力。为什么洼地表层(0~5 cm)土壤 CH_4 生成率显著高于其它层位? 可解释为, 表层土壤具备厌气生态龛、为植物茎叶枯死层、有机质含量高, 较易发生 CH_4 生成。在近似原位培养条件下, 洼地表层土壤 CH_4 生成高于 CH_4 氧化, 表明洼地具有净 CH_4 排放。 SO_4^{2-} 含量与 CH_4 生成密切相关, 高 SO_4^{2-} 浓度通常抑制 CH_4 生成, 但洼地 0~5 cm 层位既是 CH_4 生成活跃区(图 2, E、F), 又是 SO_4^{2-} 含量相对高区(表 1)。抑制 CH_4 生成的 SO_4^{2-} 浓度阈值还不清楚, 有待于进一步调查。洼地土壤的诱导线性期(图 2, F)的 CH_4 生成率显著高于自然生长期(图 2, E), 这是由于 CH_4 生成菌的数量和活性增加所致。样品重复间的 CH_4 生成率差异(标准差)大(图 2), 这是由于 CH_4 生成菌的分布存在高度的异质性, 尽管在取样时尽量做到取样均匀。

参 考 文 献

- Bao, S. D. (鲍士旦). 2000. Soil agro-chemical analysis. Beijing: China Agriculture Press. 25~69. (in Chinese)
- Bender, M. & R. Conrad. 1992. Kinetics of CH_4 oxidation in oxic soils exposed to ambient air or high CH_4 mixing ratios. FEMS Microbiology Ecology, **101**: 261~269.
- Borne, M., H. Dörr & I. Levin. 1990. Methane consumption in aerated soils of the temperate zone. Tellus, **42**: 2~8.
- Brumme, R. & W. Borken. 1999. Site variation in methane oxidation as affected by atmospheric deposition and type of temperate forest ecosystem. Global Biogeochemical Cycles, **13**: 493~501.
- Brune, A., P. Frenzel & H. Cypionka. 2000. Life at the oxic-anoxic interface: microbial activities and adaptations. FEMS Microbiology Reviews, **24**: 691~710.
- Cai, Z. C. & X. Y. Yan. 1999. Kinetic model for methane oxidation by paddy soil as affected by temperature, moisture and N addition. Soil Biology & Biochemistry, **31**: 715~725.
- Cai, Z. C. & A. R. Mosier. 2000. Effect of NH_4Cl addition on methane oxidation by paddy soils. Soil Biology & Biochemistry, **32**: 1537~1545.
- Crutzen, P. J. 1991. Methane's sinks and sources. Nature, **350**: 380~381.
- Dedysh, S. N. & N. S. Panikov. 1997. Effect of pH, temperature, and concentration of salts on methane oxidation kinetics in *Sphagnum* peat. Microbiology, **66**: 476~479.

- Dörr, H., L. Katruff & I. Levin. 1993. Soil texture parameterization of the methane uptake in aerated soils. *Chemosphere*, **26**: 697~713.
- Dunfield, P. F., R. Knowles, R. Dumont & T.R. Moore. 1993. Methane production and consumption in temperate and subarctic peat soils: response to temperature and pH. *Soil Biology & Biochemistry*, **25**: 321~326.
- Gao, H.X. (高惠璇). 2001. Practical statistics method and SAS system. Beijing: Peking University Press. 41~66. (in Chinese)
- Huang, G.H. (黄国宏), Y.X. Li (李玉祥), G.X. Chen (陈冠雄), Y.C. Yang (杨玉成) & C.W. Zhao (赵长伟). 2001. Influence of environmental factors on CH_4 emission from reed wetland. *Environmental Science (环境科学)*, **22**: 1~5. (in Chinese with English abstract)
- Jin, H. J., J. Wu, G. D. Cheng, T. Nakano & G. Y. Sun. 1999. Methane emissions from wetlands on the Qinghai-Tibet Plateau. *Chinese Science Bulletin*, **44**: 2282~2286.
- Krumholz, L.R., J.L. Hollenback, S.J. Roskes & D.B. Ringelberg. 1995. Methanogenesis and methanotrophy within a *Sphagnum* peatland. *FEMS Microbiology Ecology*, **18**: 215~224.
- Lidstrom, M. E. & L. Somers. 1984. Seasonal study of methane oxidation in Lake Washington. *Applied Environmental Microbiology*, **47**: 1255~1260.
- Prather, M., R. Derwent, D. Ehnhalt, P. Fraser, E. Sanhueza & X. Zhou. 1995. Other trace gases and atmospheric chemistry. In: Houghton, J.T., L.G. Meire Filho, J. Bruce, J. Lee, B.A. Callander, E. Haites, N. Harris & K. Maskell eds. *Climatic change* 1994. Cambridge: Cambridge University Press. 77~126.
- Priemé, A. & S. Christensen. 1997. Seasonal and spatial variation of methane oxidation in a Danish spruce forest. *Soil Biology & Biochemistry*, **29**: 1165~1172.
- Saari, A., P.J. Martikainen, A. Ferm, J. Ruuskanen, W. De Boer, S.R. Troelstra & H.J. Laanbroek. 1997. Methane oxidation in soil profiles of Dutch and Finnish coniferous forests with different soil texture and atmospheric nitrogen deposition. *Soil Biology & Biochemistry*, **29**: 1625~1632.
- Saarnio, S., T. Saarinen, H. Vasander & J. Silvola. 2000. A moderate increase in the annual CH_4 efflux by raised CO_2 or NH_4NO_3 supply in a boreal oligotrophic mire. *Global Change Biology*, **6**: 137~144.
- Sundh, I., M. Nilsson, G. Granberg & B.H. Svensson. 1994. Depth distribution of microbial production and oxidation of methane in northern boreal peatlands. *Microbial Ecology*, **27**: 253~265.
- Wang, M. X. (王明星). 2001. Methane emissions from paddy fields of China. Beijing: Science Press. 83~215. (in Chinese)
- Williams, R.T. & R.L. Crawford. 1984. Methane production in Minnesota peatlands. *Applied Environmental Microbiology*, **47**: 1266~1271.
- Yavitt, J. B., G. E. Lang & M. D. Downey. 1988. Potential methane production and methane oxidation rates in peatland ecosystems of the Appalachian Mountains, United States. *Global Biogeochemical Cycles*, **2**: 253~268.

责任编辑: 周广胜 责任编辑: 姜联合